





Méthodes de réduction de variance pour l'estimation des indices de Sobol

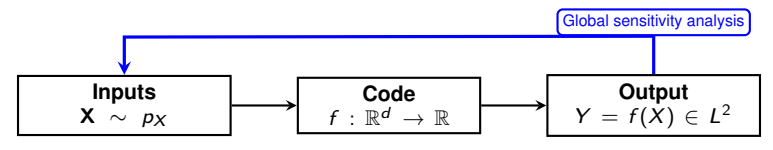
Haythem Boucharif^{1,2}

Directeur(s): Jérôme Morio¹, Paul Rochet²

¹ ONERA/DTIS, 2 ENAC/OPTIM

Analyse de sensibilité

On considère un modèle boîte noire Y = f(X), $X = (X_1, \dots, X_d) \sim p$,



Outil pour quantifier en analyse de sensibilité :

Indice de Sobol d'ordre
$$\mathbf{1} \Rightarrow S_i = \frac{\mathsf{Var}\left(\mathbb{E}[Y \mid \mathbf{X}_i]\right)}{\mathsf{Var}(Y)} = \frac{\mathbb{E}_{p_i}\left[\left(\mathbb{E}_{p_{-i}}[Y \mid X_i]\right)^2\right] - \left(\mathbb{E}_p[Y]\right)^2}{\mathsf{Var}_p(Y)}.$$

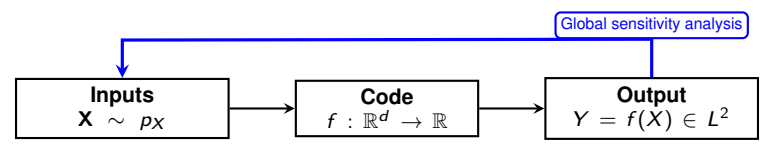






Analyse de sensibilité

On considère un modèle boîte noire Y = f(X), $X = (X_1, ..., X_d) \sim p$,



Outil pour quantifier en analyse de sensibilité :

Indice de Sobol d'ordre 1
$$\Rightarrow S_i = \frac{\mathsf{Var}\left(\mathbb{E}[Y \mid \mathbf{X}_i]\right)}{\mathsf{Var}(Y)} = \frac{\mathbb{E}_{p_i}\left[\left(\mathbb{E}_{P-i}[Y \mid X_i]\right)^2\right] - \left(\mathbb{E}_{P}[Y]\right)^2}{\mathsf{Var}_{P}(Y)}$$

Objectifs \Rightarrow Amélioration des méthodes d'estimation de $\eta_i = \mathbb{E}_{p_i} \left[\left(\mathbb{E}_{p_{-i}}[Y \mid X_i] \right)^2 \right]$.







Analyse de sensibilité : Estimation des indices de Sobol

Méthodes classiques d'estimation :

- Pick-Freeze [1]
- Methode a noyaux [2] [3]

- Méthode des plus proches voisins [4]
- Méthode des rangs [5]







Analyse de sensibilité : Estimation des indices de Sobol

Méthodes classiques d'estimation :

- Pick-Freeze [1]
- Methode a noyaux [2] [3]

- Méthode des plus proches voisins [4]
- Méthode des rangs [5]

Méthode des rangs :

- On dispose d'un *n*-échantillon $(\mathbf{X}^k, Y^k)_{k=1,\dots,n}$.
- Les X_i sont triés dans l'ordre croissant : $X_i^{(1)} < X_i^{(2)} < \cdots < X_i^{(n)}$.
- Les Y sont réordonnés en conséquence : $Y^{(k)}$ est la sortie associée à $X_i^{(k)}$.
- L'estimateur proposé est :

$$\hat{\eta}_i = rac{1}{n-1} \sum_{k=1}^{n-1} Y^{(k)} Y^{(k+1)} \xrightarrow[n o +\infty]{} \eta_i, \qquad ext{avec } \mathbf{X}^k \sim p.$$







Échantillonnage préférentiel — Importance Sampling

Soit $\mathbf{X} \sim p$, et une fonction $f: \mathcal{X} \to \mathbb{R}$. On souhaite estimer :

$$\mathbb{E}_p[f(\mathbf{X})] = \int_{\mathcal{X}} f(\mathbf{x}) p(\mathbf{x}) \, d\mathbf{x}.$$

Estimateur Monte-Carlo:

$$\hat{I}_{\mathsf{MC}} = \frac{1}{n} \sum_{k=1}^{n} f(\mathbf{X}^{k}), \quad \mathbf{X}^{k} \sim p.$$

Limites:

- Difficulté d'échantillonnage selon p(x),
- Variance de l'estimateur \hat{I}_{MC} élevée.







Échantillonnage préférentiel — Importance Sampling

Soit $\mathbf{X} \sim p$, et une fonction $f \colon \mathcal{X} \to \mathbb{R}$. On souhaite estimer :

$$\mathbb{E}_{p}[f(\mathbf{X})] = \int_{\mathcal{X}} f(\mathbf{x}) p(\mathbf{x}) d\mathbf{x}.$$

Estimateur Monte-Carlo:

$$\hat{I}_{\mathsf{MC}} = rac{1}{n} \sum_{k=1}^{n} f(\mathbf{X}^{k}), \quad \mathbf{X}^{k} \sim p.$$

Limites:

- Difficulté d'échantillonnage selon p(x),
- Variance de l'estimateur Î_{MC} élevée.

Importance Sampling [6]:

On introduit une densité auxiliaire q(x) telle que q(x) > 0 sur le support de $p \times f$.

$$\mathbb{E}_p[f(\mathbf{X})] = \int_{\mathcal{X}} f(\mathbf{x}) \frac{p(\mathbf{x})}{q(\mathbf{x})} q(\mathbf{x}) d\mathbf{x} = \mathbb{E}_q[f(\mathbf{X})w(\mathbf{X})],$$

où
$$w(x) = \frac{p(x)}{g(x)}$$
 est le poids d'importance.

Estimateur IS:

$$\hat{I}_{|S} = \frac{1}{n} \sum_{k=1}^{n} f(\mathbf{X}^k) w(\mathbf{X}^k), \quad \mathbf{X}^k \sim q.$$







Contribution — Estimation de η_i via importance sampling

Approche proposée : introduire une loi auxiliaire q(x) pour réécrire η_i comme une espérance sous q:

$$\eta_i = \mathbb{E}_{
ho_i} \Big[\mathbb{E}_{
ho_{-i}} [Y \mid X_i]^2 \Big] = \mathbb{E}_{q_i} \Big[\big(\mathbb{E}_{q_{-i}} [Z_i \mid X_i] \big)^2 \Big],$$

où Z_i est une transformation pondérée de Y, le rapport p/q compensant le changement de loi :

$$Z_i := \sqrt{rac{p_i(X_i)}{q_i(X_i)} \cdot rac{p_{-i}(\mathbf{X}_{-i})}{q_{-i}(\mathbf{X}_{-i} \mid X_i)}} \cdot f(\mathbf{X}), \qquad \mathbf{X} \sim q.$$







Contribution — Estimation de η_i via importance sampling

Approche proposée: introduire une loi auxiliaire q(x) pour réécrire n_i comme une espérance sous q:

$$\eta_i = \mathbb{E}_{
ho_i} \Big[\mathbb{E}_{
ho_{-i}} [Y \mid X_i]^2 \Big] = \mathbb{E}_{q_i} \Big[\big(\mathbb{E}_{q_{-i}} [Z_i \mid X_i] \big)^2 \Big]$$
 ,

où Z_i est une transformation pondérée de Y, le rapport p/q compensant le changement de loi :

$$Z_i := \sqrt{rac{p_i(X_i)}{q_i(X_i)} \cdot rac{p_{-i}(\mathbf{X}_{-i})}{q_{-i}(\mathbf{X}_{-i} \mid X_i)}} \cdot f(\mathbf{X}), \qquad \mathbf{X} \sim q.$$

En particulier:

$$\hat{\eta}_i = rac{1}{n-1} \sum_{i=1}^{n-1} Z_i^{(k)} \, Z_i^{(k+1)} \xrightarrow[n o +\infty]{} \mathbb{E}_{q_i} igg[ig(\mathbb{E}_{q_{-i}} [Z_i \mid X_i] ig)^2 igg] = \eta_i, \qquad \mathbf{X}^{(k)} \sim q.$$

Remarque : cette approche s'étend naturellement aux indices de Sobol d'ordre supérieur.









Réduction de variance et lois optimales

On note $m(x_i) = \mathbb{E}_{p_{-i}}[Y \mid X_i = x_i]$. Les estimateurs *efficients* atteignent la borne de variance asymptotique [2]:

$$\sigma_{\mathrm{opt},i}^2(p) = 4 \,\mathbb{E}\Big[m^2(X_i)Y^2\Big] - 3 \,\mathbb{E}\Big[m^4(X_i)\Big] - \eta_i^2. \tag{1}$$







Réduction de variance et lois optimales

On note $m(x_i) = \mathbb{E}_{P_{-i}}[Y \mid X_i = x_i]$. Les estimateurs *efficients* atteignent la borne de variance asymptotique [2]:

$$\sigma_{\mathrm{opt},i}^2(p) = 4 \,\mathbb{E}\left[m^2(X_i) \,Y^2\right] - 3 \,\mathbb{E}\left[m^4(X_i)\right] - \eta_i^2. \tag{1}$$

En utilisant la proposition précédente :

$$\sigma_{\mathrm{opt},i}^2(q) = 4 \operatorname{\mathbb{E}}_{q_i} \left[\operatorname{\mathbb{E}}_{q_{-i}}[Z_i \mid X_i]^2 \operatorname{\mathbb{E}}_{q_{-i}}[Z_i^2 \mid X_i] \right] - 3 \operatorname{\mathbb{E}}_{q_i} \left[\operatorname{\mathbb{E}}_{q_{-i}}[Z_i \mid X_i]^4 \right] - \eta_i^2.$$







Réduction de variance et lois optimales

On note $m(x_i) = \mathbb{E}_{P_{-i}}[Y \mid X_i = x_i]$. Les estimateurs *efficients* atteignent la borne de variance asymptotique [2]:

$$\sigma_{\text{opt},i}^2(\rho) = 4 \,\mathbb{E}\left[m^2(X_i) \,Y^2\right] - 3 \,\mathbb{E}\left[m^4(X_i)\right] - \eta_i^2. \tag{1}$$

En utilisant la proposition précédente :

$$\sigma_{\mathrm{opt},i}^2(q) = 4 \operatorname{\mathbb{E}}_{q_i} \left[\operatorname{\mathbb{E}}_{q_{-i}}[Z_i \mid X_i]^2 \operatorname{\mathbb{E}}_{q_{-i}}[Z_i^2 \mid X_i] \right] - 3 \operatorname{\mathbb{E}}_{q_i} \left[\operatorname{\mathbb{E}}_{q_{-i}}[Z_i \mid X_i]^4 \right] - \eta_i^2.$$

Résultat: Si $f(x) \ge 0$, il existe une densité optimale q^* qui annule la variance asymptotique :

$$q^*(\mathbf{x}) = q_i(\mathbf{x}_i) \, q_{-i}(\mathbf{x}_{-i} \mid \mathbf{x}_i) = \frac{p(\mathbf{x}) \, f(\mathbf{x}) \, m(\mathbf{x}_i)}{n_i}, \qquad \sigma_{\text{opt},i}^2(q^*) = 0.$$

Conséquence : en pratique, q^* est inconnu (car dépend de η_i) mais peut être approché par des méthodes d'échantillonnage préférentiel adaptatif ou de type MCMC.



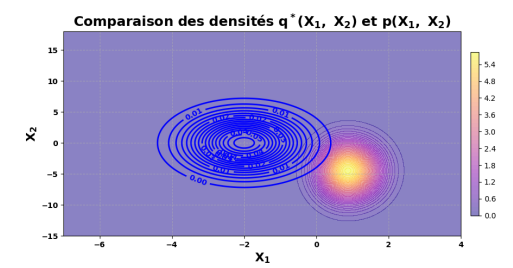






Exemple : Réduction de variance et lois optimales

- $X_1 \sim \mathcal{N}(-2,1), \ X_2 \sim \mathcal{N}(0,9)$
- Fonction : $f(x_1, x_2) = \exp\left(-\frac{(x_1-2)^2 + (x_2-4)^2}{2}\right)$
- Objectif : estimer $\eta_1 = \mathbb{E} \big[m_1^2(X_1) \big]$



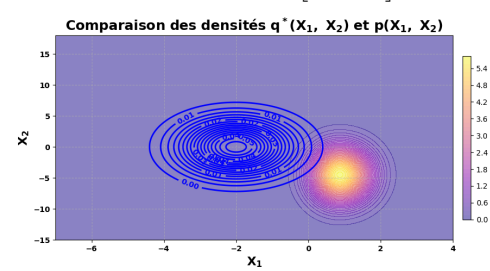




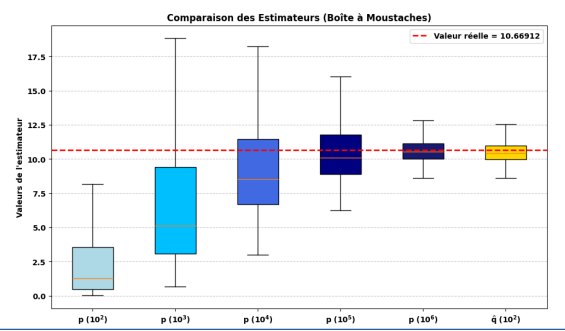


Exemple : Réduction de variance et lois optimales

- $X_1 \sim \mathcal{N}(-2,1), \ X_2 \sim \mathcal{N}(0,9)$
- Fonction : $f(x_1, x_2) = \exp\left(-\frac{(x_1-2)^2+(x_2-4)^2}{2}\right)$
- Objectif : estimer $\eta_1 = \mathbb{E} \big[m_1^2(X_1) \big]$



 Plusieurs estimateurs sont générés selon la loi p ainsi qu'à partir de la loi optimale estimée â*, apprise à partir de 1000 points









Sensibilité de $\eta_i(\theta)$ aux lois d'entrée - Reverse Importance Sampling [7] (ETICS 2020)

Application : On veut explorer la sensibilité de $\eta_i(\theta) = \mathbb{E}_{\rho_\theta} \left[\left(\mathbb{E}_{\rho_{\theta-i}} [Z_{\theta,i} \mid X_i] \right)^2 \right]$ pour toute une famille de lois cibles ρ_θ , à partir d'un seul jeu de données simulé sous une loi initiale ρ_{θ_0} .

Méthode:

• Pour chaque loi cible p_{θ} , on applique des poids d'importance :

$$Z_{ heta,i} = \sqrt{rac{p_{ heta,i}(X_i)}{p_{ heta_0,i}(X_i)}} \cdot rac{p_{ heta,-i}(\mathbf{X}_{-i})}{p_{ heta_0,-i}(\mathbf{X}_{-i})} \cdot f(\mathbf{X})$$







Sensibilité de $\eta_i(\theta)$ aux lois d'entrée - Reverse Importance Sampling [7] (ETICS 2020)

Application: On veut explorer la sensibilité de $\eta_i(\theta) = \mathbb{E}_{p_{\theta}} \left[\left(\mathbb{E}_{p_{\theta-i}}[Z_{\theta,i} \mid X_i] \right)^2 \right]$ pour toute une famille de lois cibles p_{θ} , à partir d'un seul jeu de données simulé sous une loi initiale p_{θ_0} .

Méthode:

• Pour chaque loi cible p_{θ} , on applique des poids d'importance :

$$Z_{ heta,i} = \sqrt{rac{p_{ heta,i}(X_i)}{p_{ heta_0,i}(X_i)} \cdot rac{p_{ heta,-i}(\mathbf{X}_{-i})}{p_{ heta_0,-i}(\mathbf{X}_{-i})}} \cdot f(\mathbf{X})$$

· Puis on utilise:

$$\hat{\eta}_i^{\mathsf{rank}}(heta) = rac{1}{n-1} \sum_{k=1}^{n-1} Z_{ heta,i}^{(k)} \cdot Z_{ heta,i}^{(k+1)}$$

• On estime alors $\eta_i(\theta)$ pour toutes les lois cibles p_{θ} , à partir du même jeu de données suivant p_{θ_0} .









Illustration numérique : Reverse Importance Sampling

On étudie un code boîte noire [8] retournant l'épaisseur de glace le long d'un profil d'aile sur 128 positions. Les entrées $\mathbf{X} = (X_1, X_2, X_3, X_4)$ sont indépendantes et uniformes sur

$$\label{eq:xlow} \textbf{x}_{low} = (3.5,\,65,\,261,15,\,4\times10^{-4}), \quad \textbf{x}_{up} = (4.5,\,75,\,265,15,\,6\times10^{-4}).$$

Un plan d'expériences de taille N=2500 fournit des sorties dans \mathbb{R}^{128} . On considère la position présentant la plus grande variance, qui sera notée Y et étudiée par la suite. Toutes les sorties sont normalisées et transformées en variables uniformes sur [0,1] et pour chaque $\eta_i(\theta)$, on utilise la variable auxiliaire

$$Z_{\theta,i} \ = \ \sqrt{\frac{\mathsf{Beta}_{\alpha_{\theta},\beta_{\theta}}(X_i^{\mathsf{std}})}{\mathsf{Unif}[0,1](X_j^{\mathsf{std}})}} \ \prod_{j\neq i} \frac{\mathsf{Beta}_{\alpha_{\theta},\beta_{\theta}}(X_j^{\mathsf{std}})}{\mathsf{Unif}[0,1](X_j^{\mathsf{std}})} \ f(\mathbf{X}).$$

Dans cette application, on se concentre sur $\eta_4(\theta) = \mathbb{E}_{p_\theta}\left[(\mathbb{E}[Y\mid X_4])^2\right]$ où X_4 représente la température de l'air ambiant. Pour étudier sa sensibilité aux lois marginales, on remplace la loi uniforme d'un seul X_j à la fois par une loi **Beta** dont les paramètres (α_j,β_j) varient, les autres entrées restant inchangées.

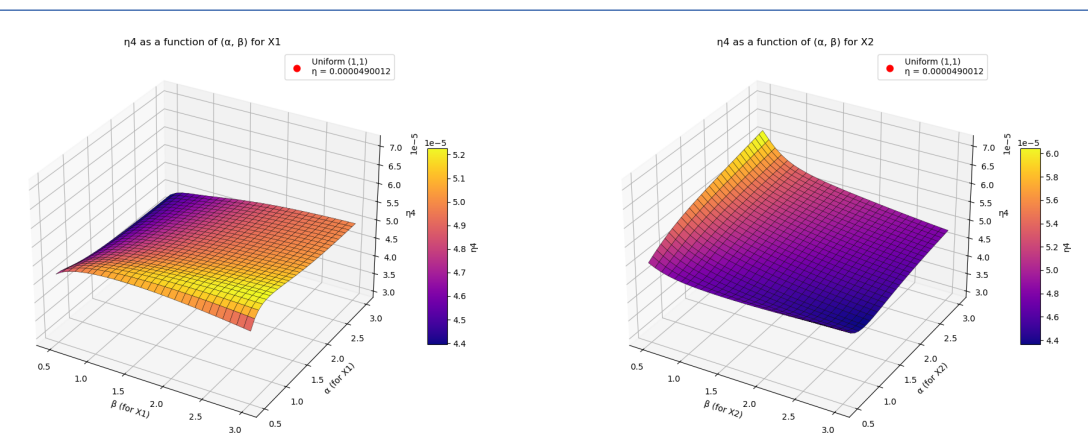








Illustration numérique : Sensibilité de $\eta_i(\theta)$ aux lois d'entrée



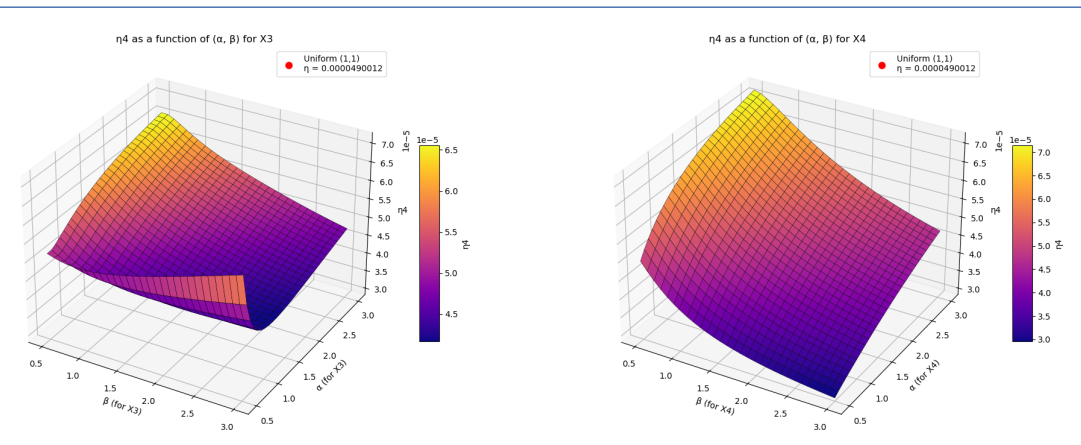
Figures : Effet des variations de la loi marginale sur η_4 : chaque sous-figure montre l'évolution de η_4 lorsque les paramètres Beta d'une variable d'entrée X_i sont modifiés, les autres restant uniformes.







Illustration numérique : Sensibilité de $\eta_i(\theta)$ aux lois d'entrée



Figures : Effet des variations de la loi marginale sur η_4 : chaque sous-figure montre l'évolution de η_4 lorsque les paramètres Beta d'une variable d'entrée X_i sont modifiés, les autres restant uniformes.







Contribution (en cours) Variable de contrôle et estimation de η_i

On considère $Y = f(\mathbf{X})$, où l'on cherche à estimer la moyenne de performance $\theta = \mathbb{E}[f(\mathbf{X})]$ à partir de l'estimateur Monte Carlo $\hat{\theta} = \frac{1}{n} \sum_{i=1}^{n} f(\mathbf{X}_i)$.

Principe de la variable de contrôle. On introduit un méta-modèle f^a dont l'espérance $\theta^a = \mathbb{E}[f^a(\mathbf{X})]$ est connue. L'estimateur corrigé s'écrit :

$$\hat{\theta}_{\text{CV}}(\beta) = \hat{\theta} - \beta (\hat{\theta}^a - \theta^a), \qquad \hat{\theta}^a = \frac{1}{n} \sum_{i=1}^n f^a(\mathbf{X}_i).$$









Contribution (en cours) Variable de contrôle et estimation de η_i

On considère $Y = f(\mathbf{X})$, où l'on cherche à estimer la moyenne de performance $\theta = \mathbb{E}[f(\mathbf{X})]$ à partir de l'estimateur Monte Carlo $\hat{\theta} = \frac{1}{n} \sum_{i=1}^{n} f(\mathbf{X}_i)$.

Principe de la variable de contrôle. On introduit un méta-modèle f^a dont l'espérance $\theta^a = \mathbb{E}[f^a(\mathbf{X})]$ est connue. L'estimateur corrigé s'écrit :

$$\hat{\theta}_{\text{CV}}(\beta) = \hat{\theta} - \beta (\hat{\theta}^a - \theta^a), \qquad \hat{\theta}^a = \frac{1}{n} \sum_{i=1}^n f^a(\mathbf{X}_i).$$

Sa variance vaut:

$$\mathsf{Var}(\hat{ heta}_\mathsf{CV}) = \mathsf{Var}(\hat{ heta}) - 2\beta \, \mathsf{Cov}(\hat{ heta}, \hat{ heta}^a) + \beta^2 \, \mathsf{Var}(\hat{ heta}^a),$$

et elle est minimale pour

$$\beta^* = \frac{\mathsf{Cov}(\hat{\theta}, \hat{\theta}^a)}{\mathsf{Var}(\hat{\theta}^a)}, \qquad \mathsf{Var}(\hat{\theta}_{\mathsf{CV}}) = \mathsf{Var}(\hat{\theta}) - \frac{\mathsf{Cov}(\hat{\theta}, \hat{\theta}^a)^2}{\mathsf{Var}(\hat{\theta}^a)}.$$











Estimateur des rangs et variable de contrôle

On dispose d'un échantillon i.i.d. $\{(\mathbf{X}_i), Y_i, \tilde{Y}_i\}_{i=1}^n$, et les sorties correspondantes du modèle principal et du méta-modèle sont notées $(Y_{(i)}, \tilde{Y}_{(i)})$.

Les estimateurs basés sur les rangs sont :

$$\hat{\eta}_{\mathsf{rank}} = rac{1}{n-1} \sum_{i=1}^{n-1} \mathsf{Y}_{(i)} \, \mathsf{Y}_{(i+1)}, \qquad ilde{\eta}_{\mathsf{rank}} = rac{1}{n-1} \sum_{i=1}^{n-1} ilde{\mathsf{Y}}_{(i)} \, ilde{\mathsf{Y}}_{(i+1)}.$$







Estimateur des rangs et variable de contrôle

On dispose d'un échantillon i.i.d. $\{(\mathbf{X}_i), Y_i, \tilde{Y}_i\}_{i=1}^n$, et les sorties correspondantes du modèle principal et du méta-modèle sont notées $(Y_{(i)}, \tilde{Y}_{(i)})$.

Les estimateurs basés sur les rangs sont :

$$\hat{\eta}_{\mathsf{rank}} = rac{1}{n-1} \sum_{i=1}^{n-1} Y_{(i)} Y_{(i+1)}, \qquad ilde{\eta}_{\mathsf{rank}} = rac{1}{n-1} \sum_{i=1}^{n-1} ilde{Y}_{(i)} \, ilde{Y}_{(i+1)}.$$

L'estimateur à variable de contrôle s'écrit :

$$\hat{\eta}_{\mathsf{rank}-\mathsf{CV}} = \hat{\eta}_{\mathsf{rank}} - \hat{eta}^* \left(\tilde{\eta}_{\mathsf{rank}} - \widehat{\mathbb{E}}[\tilde{\eta}_{\mathsf{rank}}] \right), \qquad \mathsf{Var}(\hat{\eta}_{\mathsf{CV}}) = \mathsf{Var}(\hat{\eta}) - rac{\mathsf{Cov}(\hat{\eta}, ilde{\eta})^2}{\mathsf{Var}(ilde{\eta})}.$$







Estimateur des rangs et variable de contrôle

On dispose d'un échantillon i.i.d. $\{(\mathbf{X}_i), Y_i, \tilde{Y}_i\}_{i=1}^n$, et les sorties correspondantes du modèle principal et du méta-modèle sont notées $(Y_{(i)}, \tilde{Y}_{(i)})$.

Les estimateurs basés sur les rangs sont :

$$\hat{\eta}_{\mathsf{rank}} = rac{1}{n-1} \sum_{i=1}^{n-1} Y_{(i)} Y_{(i+1)}, \qquad ilde{\eta}_{\mathsf{rank}} = rac{1}{n-1} \sum_{i=1}^{n-1} ilde{Y}_{(i)} \, ilde{Y}_{(i+1)}.$$

L'estimateur à variable de contrôle s'écrit :

$$\hat{\eta}_{\mathsf{rank-CV}} = \hat{\eta}_{\mathsf{rank}} - \hat{eta}^* \left(ilde{\eta}_{\mathsf{rank}} - \widehat{\mathbb{E}}[ilde{\eta}_{\mathsf{rank}}]
ight), \qquad \mathsf{Var}(\hat{\eta}_{\mathsf{CV}}) = \mathsf{Var}(\hat{\eta}) - rac{\mathsf{Cov}(\hat{\eta}, ilde{\eta})^2}{\mathsf{Var}(ilde{\eta})}.$$

Si \tilde{f} est appris indépendamment des données (X_i, Y_i) , alors $Cov(\hat{\eta}_{rank}, \tilde{\eta}_{rank})$ s'écrit :

$$n\operatorname{Cov}(\hat{\eta}_{\operatorname{rank}}, \tilde{\eta}_{\operatorname{rank}}) = \operatorname{Cov}(m(X)^2, \ \tilde{m}(X)^2) + o(1).$$









Exemple: fonction d'Ishigami et méta-modèle

On considère la fonction d'Ishigami $(x_1, x_2, x_3) \sim \mathcal{U}([-\pi, \pi]^3)$:

$$f(x_1, x_2, x_3) = \sin(x_1) + 7\sin^2(x_2) + 0.1x_3^4\sin(x_1)$$
,

Le méta-modèle \tilde{f} est un processus gaussien appris sur des simulations de f.

On cherche à estimer la quantité :

$$\eta_1 = \mathbb{E}[m_1(X_1)^2], \qquad m_1(x_1) = \mathbb{E}[Y \mid X_1 = x_1].$$







Exemple: fonction d'Ishigami et méta-modèle

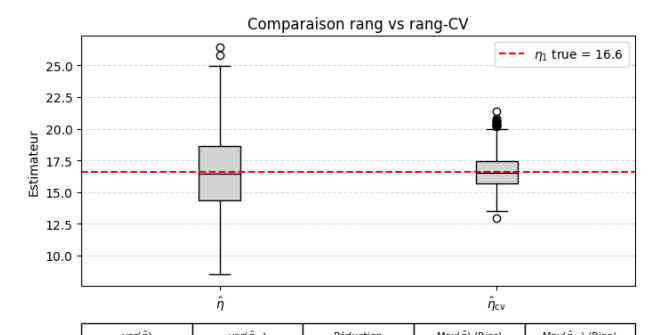
On considère la fonction d'Ishigami $(x_1, x_2, x_3) \sim \mathcal{U}([-\pi, \pi]^3)$:

$$f(x_1, x_2, x_3) = \sin(x_1) + 7\sin^2(x_2) + 0.1x_3^4\sin(x_1),$$

Le méta-modèle \tilde{f} est un processus gaussien appris sur des simulations de f.

On cherche à estimer la quantité :

$$\eta_1 = \mathbb{E}[m_1(X_1)^2], \qquad m_1(x_1) = \mathbb{E}[Y \mid X_1 = x_1].$$



var(η)	var(η _{cv})	Reduction	Moy(η) (Blas)	Moy(η _{cv}) (Blas)
9.562	1.752	81.7%	16.547 (0.049)	16.610 (0.014)







Travaux en cours et perspectives

Soumission récente :

• Article principal (cette présentation) (arXiv:2507.05958).

Projets en cours :

- Développement d'une nouvelle méthode d'estimation de η_i basée sur les variables de contrôle.
- Estimation simultanée de tous les indices de Sobol avec un même échantillon IS, via une loi jointe commune.
- Introduction d'un nouvel estimateur de η_i , fondé sur la moyenne harmonique dans un cadre bayésien.







Bibliographie

- [1] F. Gamboa, A. Janon, T. Klein, A. Lagnoux et C. Prieur, Statistical Inference for Sobol Pick-Freeze Monte Carlo Method, Statistics, 50 (4), pp. 881–902 (2016).
- [2] S. D. Veiga et F. Gamboa, *Efficient Estimation of Sensitivity Indices*, Journal of Nonparametric Statistics, 25 (3), pp. 573–595 (2013).
- [3] S. D. Veiga, F. Gamboa, A. Lagnoux, T. Klein et C. Prieur, New Estimation of Sobol' Indices Using Kernels (2023), https://arxiv.org/abs/2303.17832, arXiv preprint arXiv:2303.17832.
- [4] L. Devroye, L. Györfi, G. Lugosi et H. Walk, A Nearest Neighbor Estimate of the Residual Variance, Electronic Journal of Statistics, 12 (1), pp. 1752–1778 (2018).

- [5] F. Gamboa, P. Gremaud, T. Klein et A. Lagnoux, Global Sensitivity Analysis: A Novel Generation of Mighty Estimators Based on Rank Statistics, Bernoulli, 28 (4), pp. 2345–2374 (2022).
- [6] H. Kahn et T. E. Harris, Estimation of particle transmission by random sampling, National Bureau of Standards Applied Mathematics Series, 12, pp. 27–30 (1951).

Session: Ice Accretion Modeling.

- [7] P. Lemaître, E. Sergienko, A. Arnaud, N. Bousquet, F. Gamboa et B. looss, Density Modification Based Reliability Sensitivity Analysis, Journal of Statistical Computation and Simulation, 85 (7), pp. 1200–1223 (2015).
- [8] P. Trontin, G. Blanchard, A. Kontogiannis et P. Villedieu, Description and Assessment of the New ONERA 2D Icing Suite IGLOO2D, Dans AIAA Atmospheric and Space Environments Conference, no. AIAA 2017-3417. American Institute of Aeronautics and Astronautics (2017).